

ゲートから流出する射流の特性

日大 理工 正員 大津 岩夫	日大 理工 正員 安田 陽一
日大 理工 学生員 ○原 雅人	日大 理工 学生員 石橋 明男

水平水路において、スルース・ゲートから流出する射流では、乱流境界層が縮流部から発達し水面に達する。また、その下流側では乱流境界層が十分に発達した流れとなる(図-1)。このような流れの特性を知ることは、跳水内部の流速特性に対するinflow conditionの影響¹⁾²⁾、跳水中のシルに作用する抗力に対するinflow conditionの影響³⁾⁴⁾を知るため、また跳水の位置の正確な算定のため⁵⁾に必要である。前報では⁶⁾、developing flow(境界層が発達している流れ、 $x < x_{cp}$)における流速特性、境界層の発達状態、および水面形状、fully developed flow(境界層が十分発達した流れ、 $x > x_{cp}$)における流速特性と水面形状を二次元的に検討した。ここではスルース・ゲートから流出する射流の流速特性について実験的検討を加え、二次元的に取り扱った妥当性について論じる。また、developing flowとfully developed flowの水面の状況の違いを実験的に示す。

実験

長さ17m、幅40cm、高さ40cmの滑面長方形断面水平水路を用いて実験を行った。流速は、1次元L.D.V.(レーザー流速計)を用いて測定した(採取間隔40ms、採取時間164s)。また射流の水面形状は、サーボ式波高計を用いて測定した(採取時間40ms、採取間隔180s)。なお、実験範囲は $4 < F_o < 8$, $10 < B/h_0 < 20$, $50000 < Re < 85000$ である。

射流の流下方向の流速および乱れ強さの特性

(1) developing flow

developing flowにおける流下方向(x 方向)の時間平均された流速(\bar{u})および乱れ強さ($\sqrt{u'^2}$)について、水路横断方向(z 方向)の分布を図-2に示す。図-2に示されるように、 \bar{u} および $\sqrt{u'^2}$ は側壁近傍を除き、水路横断方向に対し、ほぼ一定な値を示す。また側壁近傍を除いて、境界層内の流速分布は x/h_0 に関わらず、 $1/7$ 乗則で近似される。さらに相対乱れ強さ $\sqrt{u'^2}/U$ の y 方向の分布については図-3に示されるように、境界層外側を除いて空気流でのsmooth flat plateの場合⁷⁾(図-3の破線)とほぼ同様な分布が得られる。なお図-3に示した x/h_0 以外においても流下方向の乱れ強さの分布は同様になる。

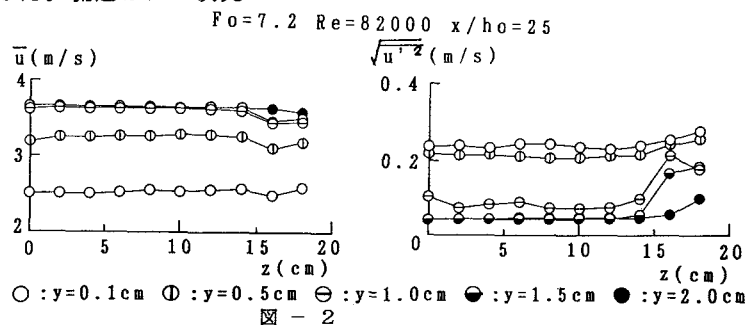
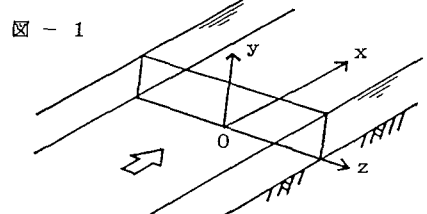
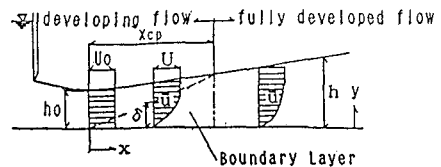
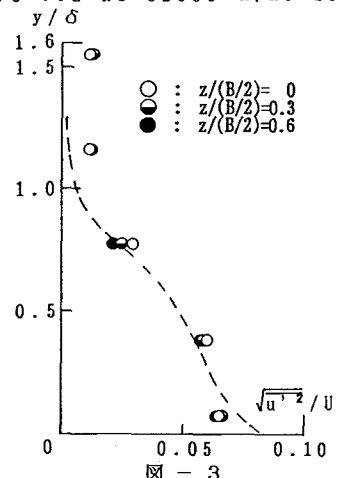
図-2 $F_o = 7.2 \quad Re = 82000 \quad x/h_0 = 25$ 

図-3

(2) fully developed flow

fully developed flowにおける流下方向(x 方向)の時間平均された流速(\bar{u})および乱れ強さ($\sqrt{u'^2}$)について、水路横断方向(z 方向)の分布を図-4に示す。図-4に示されるように、 \bar{u} および $\sqrt{u'^2}$ は側壁近傍を除き、水路横断方向に対しほぼ一定な値を示す。相対乱れ強さ $\sqrt{u'^2}/U$ の y 方向の分布を図-5に示す。

$\sqrt{u'^2}$ の分布は一様勾配水路での等流における相対乱れ強さの分布(図-5の破線〔フルード数2.45, レイノルズ数62000の場合〕)⁸⁾とほぼ同様な分布が得られる。

なお、図-5に示した x/h_0 以外においても流下方向の乱れ強さの分布は同様になる。

以上のことから、本実験のアスペクト比 B/h_0 の範囲では、ゲートから流出する流れを二次元的に取り扱える妥当性が示され、前報⁶⁾で二次元的に計算した射流の水面形状、境界層の発達状態、および縮流部から境界層が水面に達するまでの距離 x_{cp} の妥当性が確かめられた。

射流の水面変動

developing flowおよびfully developed flowにおける射流の水面変動の時系列変化の一例を図-6, 7に示す。developing flow($x < x_{cp}$)の場合、僅かな水面変動が存在する。一方、fully developed flow($x > x_{cp}$)の場合、射流の水面変動は、大きなものとなっている。

記号

\bar{u} : 時間平均された流速、 $\sqrt{u'^2}$: x 方向の乱れ強さ、 x : 縮流部からの流下方向の長さ、 x_{cp} : 境界層が水面に達したときの x 、 y : 水路床に垂直な方向の距離、 z : 水路床に平行な方向の距離、 h_0 : 縮流部での水深、 Fo : 縮流部でのフルード数($Fo = U_0 / \sqrt{gh_0}$; U_0 : 縮流部での流速)、 Re : レイノルズ数($Re = q / \nu$; q : 単位幅流量、 ν : 動粘性係数)、 δ : 境界層厚さ、 B : 水路幅、 U : 境界層外縁の流速、 h : $x = x$ 断面での射流水深

参考文献

- Ohtsu et al.(1990), Report of Res. Inst. of Sci. and Tech., Nihon Univ., No35, pp.1-50.
- Leutheusser and Kartha(1972), J. of Hydr. Div., ASCE, 98(8), pp.1367-1385.
- Ohtsu et al.(1991), J. of Hydr. Res., IAHR, 29(1), pp.29-47.
- Ohtsu et al.(1992), J. of Hydr. Res., IAHR, 30(2), pp.277-288.
- 大津他、(1992). 土木学会年講(47回), II-85
- 大津他、(1992). 土木学会年講(47回), II-86
- Schlichting, H.(1979). "Boundary-layer theory", McGraw-Hill, New York.
- Tominaga, A. and Nezu, I.(1992), J. of Hydr. Engrg., ASCE, 118(1), pp.73-90.

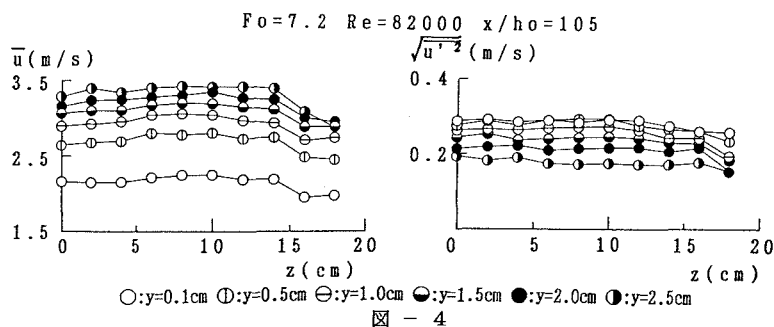


図-4

$Fo = 7.2 \quad Re = 82000 \quad x/h_0 = 105$

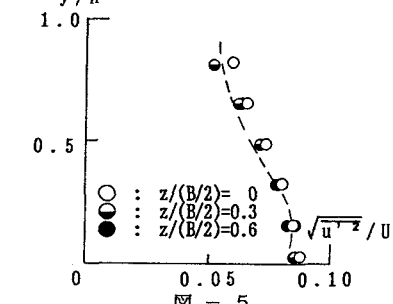


図-5

(mm) $Fo = 4.0 \quad Re = 80000 \quad x/h_0 = 15$

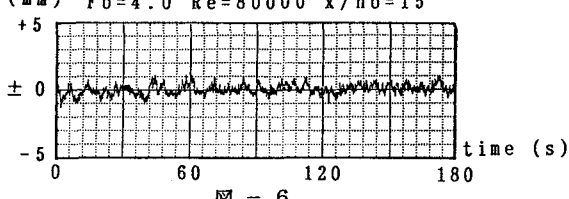


図-6

(mm) $Fo = 4.0 \quad Re = 80000 \quad x/h_0 = 100$

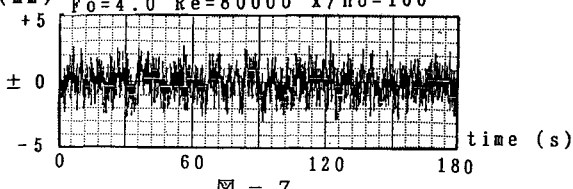


図-7